

# 菹草种群内外溶解氧空间分布日变化研究

王锦旗<sup>1</sup>, 郑有飞<sup>1\*</sup>, 王国祥<sup>2</sup>

(1.南京信息工程大学环境科学与工程学院, 南京 210044; 2.南京师范大学地理科学学院, 南京 210097)

**摘要:** 溶解氧(DO)是衡量水体污染程度的重要指标, 为研究菹草种群生长对湖泊水体水质的影响, 对南京玄武湖菹草种群内外水体DO含量进行了连续一昼夜的监测, 结果表明菹草种群光合作用对水体DO影响显著。时间分布上, 种群区水体DO日出后增加, 日落后下降, 水下20~80 cm 19:30左右出现1次下降现象, 稍后略有恢复, 其后持续降至日出前后, 而较深的100 cm处无此现象; 开阔水域日出后持续升高至日落, 日落后下降直至日出前后, 且各深度差异不大; 交界处呈现种群内的特点, 同时具有开阔水域变化趋势。垂直分布上, 种群区白天从表层向底层逐渐递减, 夜间20~40 cm处较低, 100 cm处也较低, 60~80 cm处较高; 而离种群较远的开阔水域昼夜均从表层向底层递减, 离种群较近的开阔水域因水深较浅, 各深度差异不大; 交界处昼夜均从表层向底层递减。水平分布上, 种群内侧点各水深处各时刻始终最高, 20~40 cm深离开阔水域较近种群外侧点最低; 60 cm深白天离开阔水域较近种群外侧点最低, 夜间交界处最低; 80 cm深交界处最低; 100 cm深夜间从种群内侧向开阔水域依次降低, 白天规律性不明显。菹草种群对提高水体DO起到积极作用, 并对周围水域有一定的影响。

**关键词:** 湖泊; 菹草(*Potamogeton crispus* L.); 溶解氧; 垂直分布; 水平分布

中图分类号:X524 文献标志码:A 文章编号:1672-2043(2013)04-0748-08 doi:10.11654/jaes.2013.04.014

## Diurnal Variation of Dissolved Oxygen in the Spatial Distribution Around *Potamogeton crispus* Population

WANG Jin-qi<sup>1</sup>, ZHENG You-fei<sup>1\*</sup>, WANG Guo-xiang<sup>2</sup>

(1. College of Environmental Science and Engineering, Nanjing University of Information Science & Technology, Nanjing 210044, China;  
2. School of Geography Science, Nanjing Normal University, Nanjing 210097, China)

**Abstract:** Dissolved oxygen(DO) is an important indicator for water pollution. In order to study the effects of *Potamogeton crispus* population on water quality, the DO content around the *P. crispus* population was monitored in Xuanwu Lake in Nanjing. The result showed that the photosynthesis of *P. crispus* significantly improved DO content in the water. (1) DO content within the *P. crispus* population was generally higher during daytime than that during the night. DO content increased after sunrise and declined after sunset; it dropped at 19:30 at 20~80 cm depth, then recovered slightly from 21:30 and finally dropped until sunrise. DO content at the open waters increased continuously from sunrise to sunset, and dropped from sunset to sunrise. DO content did not show significant difference at each water depth. DO content in the junction water area showed similar phenomenon with that within population and the open waters. (2) DO content within water containing *P. crispus* population decreased from the surface to the bottom during daytime; DO content was higher at 60~80 cm than that at both 20~40 cm and 100 cm during the night. DO content, which was far away from *P. crispus* population in the open waters decreased from the surface to the bottom, while DO content in the open waters close to the population showed no significant differences at each depth because the water area was relatively shallow. DO content in the junction area decreased from the surface to the bottom during both the daytime and night. (3) DO content for the water surrounding the population was the highest at all periods and all depths; DO content which is outside the water containing population and close to the open water was the lowest at 20~40 cm. During the daytime, DO content in the water containing population and close to the open water was lowest at 60 cm, while it was the lowest in the junction water at night. DO content in the water containing population was the highest in 80 cm depth; it was the lowest in the junction water. DO content decreased from the water containing population to the open waters at 100 cm at night. *P. crispus* population played an important role in improving DO content in water.

**Keywords:** lake; *P. crispus* L.; dissolved oxygen; vertical distribution; horizontal distribution

收稿日期:2012-09-13

基金项目:国家自然科学基金(41105113)

作者简介:王锦旗(1976—),男,博士研究生,讲师,主要从事生态学方面的教学研究工作。E-mail:w\_j\_q@sina.com

\*通信作者:郑有飞 E-mail:zhengyf@nuist.edu.cn

溶解氧(Dissolved Oxygen)是指溶解于水中的分子态氧,用DO表示<sup>[1]</sup>。DO是水生生物生存不可缺少的条件,能反映出水体受到污染,特别是有机物污染的程度,是表征水体污染程度的重要指标,也是衡量水质的综合指标<sup>[2]</sup>。

菹草是眼子菜科多年生沉水草本植物,是一种典型的秋季萌发、越冬生长的沉水植物,菹草春季生长迅速、夏初死亡<sup>[3]</sup>。主要分布在河流、小溪、池塘、淡水湖泊等水域,部分深水水域株高可达4 m<sup>[4]</sup>。在很多浅水型湖泊中,菹草种群的存在对水体水质及水生生态系统均产生重要影响。于2006年4月17日16:30至次日15:30对南京玄武湖菹草种群区分布区及周围水域的DO进行了连续一昼夜监测,以期查明菹草种群对水体DO的影响,为进一步研究菹草种群对水体的影响提供一些理论依据。

## 1 材料与方法

### 1.1 监测区概况

南京玄武湖属于城市天然小型浅水湖泊,面积约3.7 km<sup>2</sup>,平均水深1.3 m。其水面被湖心洲分割成北湖区、东南湖区、西南湖区三部分,北湖区又可根据方位分为西北湖区和东北湖区。监测点位于玄武湖的西北湖区,因管理人员定期刈割和游人干扰,其他湖区及湖心区菹草群落面积较小且不连续,故选择西北湖区一岸边带菹草区为监测点,该水域无外源水源输入,流速较小,且游船较少,菹草生长和水体受扰动均较小。该区平均水深约92 cm,菹草种群沿湖岸南北向连续均匀分布,菹草群落离岸平均距离约100 cm,菹草平均高度达130 cm,分枝数平均约650株·m<sup>-2</sup>。

### 1.2 监测点设置

监测点位置如图1所示,在菹草种群中央区域设

2个监测点,在菹草种群与开阔水域过渡区设3个监测点,其中种群内部边缘处设1个点,种群与开阔水域交界线设1个点,过渡处开阔水域设一个监测点,开阔水域设3个监测点,各监测点离岸距离及水深情况如表1所示。为确保点位及监测准确,监测线两端用木桩固定,并用尼龙绳连接,在各监测点用竹竿标记,监测时为防止采样船扰动水体,监测过程中只拉动尼龙绳,不使用船桨。据数理分析,分别取有代表性的种群内两个点、交界处1个点及开阔水域的两个点做分析,分别记作A1、A2、B、C1、C2。

表1 各监测点水深及离岸距离

Table 1 Depth and offshore distance of the monitoring points

项目	A1	A2	B	C1	C2
水深/cm	100	100	90	60	105
离岸距离/m	26	59	93	107.5	217.5

### 1.3 监测方法及频率

DO从水面向下每隔20 cm监测1个点,采用美国YSI-55型溶解氧仪于现场测定。监测时间从2006年4月17日16:30至18日15:30,监测频率1次·2 h<sup>-1</sup>。因17日日没时刻为18时35分,18日日出时刻为05时33分,日中时刻为12时04分,故17日18:35到18日05:33为夜间,17日16:30及18日05:33—15:30处理为白昼时段。

## 2 结果与分析

### 2.1 DO 垂直分布日变化

#### 2.1.1 DO 含量的时间变化

5个监测点各深度DO含量日变化见图2。

A1点20、40、60 cm 3个深度DO含量16:30—19:30略有下降,晚间21:30稍有回升,后持续降至

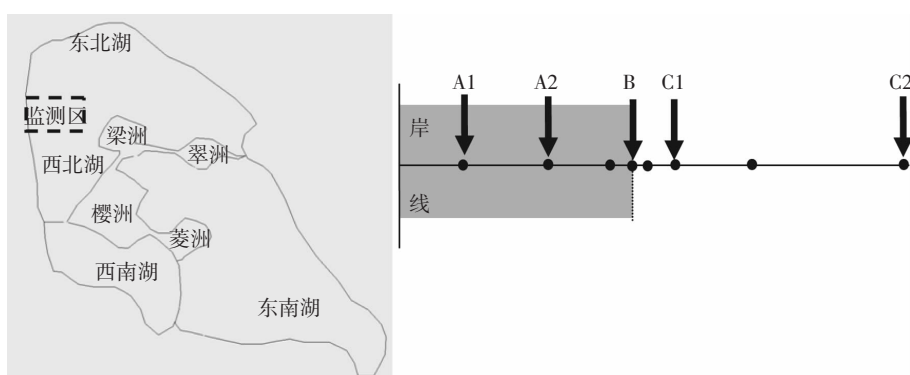


图1 监测点示意图

Figure 1 Distribution of the monitoring points

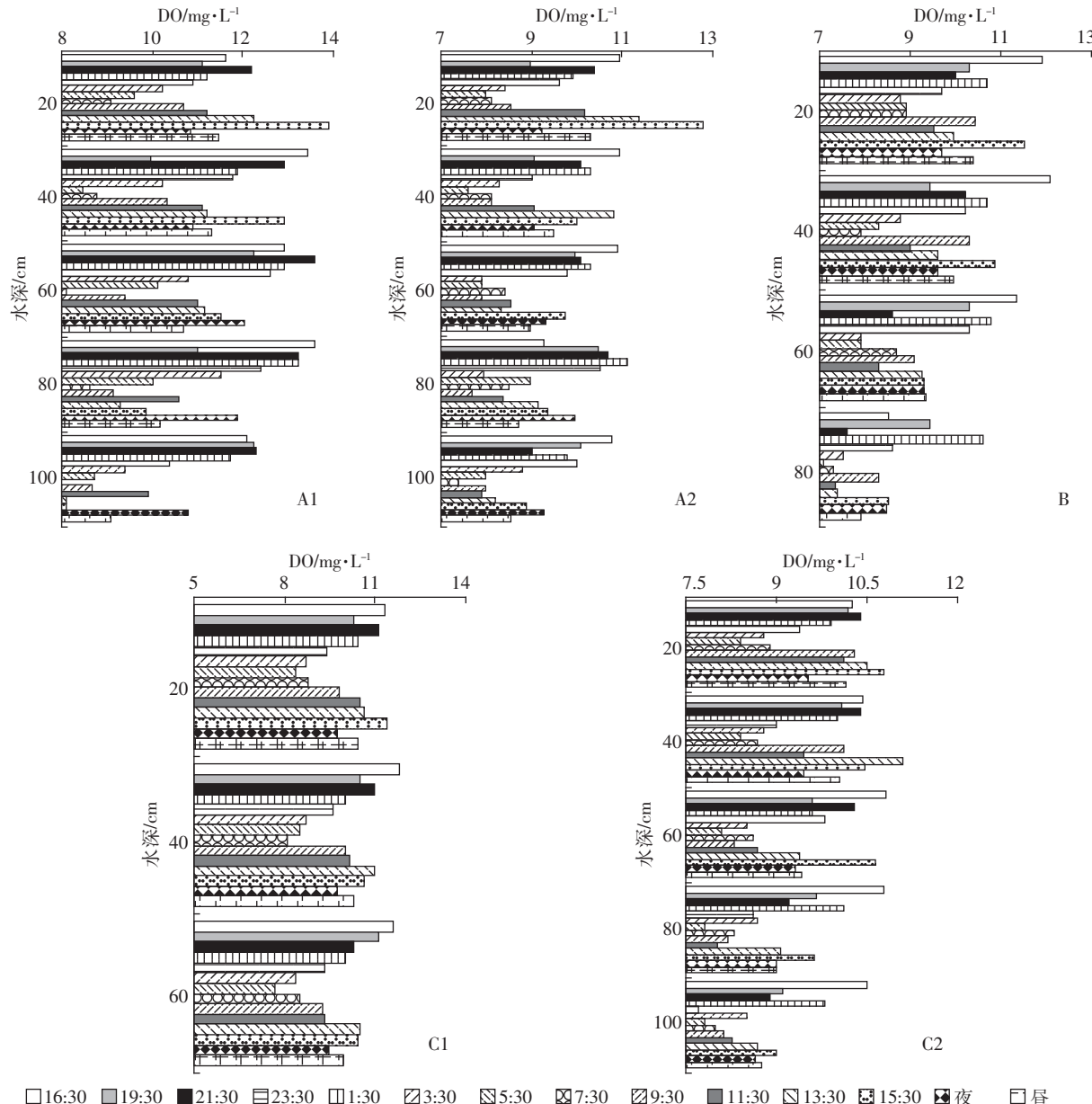


图2 各监测点水体DO垂直分布日变化

Figure 2 DO diurnal variation of vertical distribution

凌晨 7:30，并达最低值，日出后递增，并于午后 15:30 达当日最高；80、100 cm 深自 16:30—21:30 变化幅度不大，21:30 至次日 7:30 持续降低，7:30 达最低，后持续升高，于 11:30 达最高，后有所下降。

A2 点 20、40 cm 深 16:30—19:30 略有下降，21:30 略有恢复，后持续下降至 5:30，7:30 后持续升高，20 cm 深于 15:30 达最高，40 cm 深于 13:30 达最高；60、80 cm 深自 16:30—3:30 持续降低，3:30 均达最低，分别为 7.9、7.95 mg·L⁻¹，后持续升高，于 15:30 达最高，分别为 9.76、9.36 mg·L⁻¹；100 cm 深自 16:30—21:30 持续降低，21:30—1:30 逐渐升高，1:30—7:30

持续下降，7:30 后持续升高，15:30 达最高。

B 点 20 cm 深自 16:30 至次日 5:30 持续下降，5:30 达最低，为 8.8 mg·L⁻¹；40 cm 深除 19:30 显著降低外，其余时刻变化趋势与 20 cm 基本一致；60、80 cm 自 16:30—21:30 呈持续降低趋势，23:30 略有恢复，后持续降低，于次日 5:30 达最低。

C1 点各深度除 19:30 略有降低外，16:30 至次日 5:30 持续下降，5:30 达最低，后持续升高，均于 15:30 达最高。

C2 点各深度 DO 随时间变化规律基本一致，16:30 至次日 5:30 持续下降，后持续升高，于 15:30 达最

高,其中20 cm与40 cm各时刻差异均不大。

### 2.1.2 DO含量随深度的日变化

5个监测点DO含量随深度垂直日变化见图2。

A1各深度DO含量自16:30至次日5:30垂直变化状况基本一致,均从20 cm向下递增,在60 cm或80 cm达到最高,100 cm下降,除19:30外,16:30—23:30均为20 cm最低,1:30—5:30均为100 cm最低,但16:30—5:30时段20 cm较100 cm深DO差异率均低于11.0%;日出后7:30—15:30,从20 cm向下递增,20 cm较100 cm差异均大于11.0%,中午11:30垂直差异最小,为11.3%,15:30差异最大,达41.6%。平均而言,白天自20 cm向下递减,于100 cm达最低,夜间自20~60 cm递增,于60 cm达最大,后向100 cm递减;20、40 cm白天大于夜间,而60~100 cm夜间则高于白天,20、40 cm深昼夜差异不足5.5%,60~100 cm深昼夜差异均大于10.0%。

A2点在垂直分布上,16:30时,除80 cm外,各深度DO含量基本一致,各深度从16:30至次日7:30变化趋势基本一致,大部分时刻均从20~80 cm随深度增加DO含量有所增加,除夜间3:30,其余时刻均于80 cm深达最大,100 cm较80 cm有所降低,除21:30和7:30,其余时刻100 cm均大于20 cm;7:30以后,转为自20 cm向下递减,于100 cm达最低。平均而言,白天DO自20 cm向下递减,于100 cm达最低,夜间40 cm略低于20 cm,40~80 cm递增,于80 cm达最高,100 cm较80 cm略低;20~40 cm白天大于夜间,60~100 cm夜间则高于白天,20、80 cm昼夜差异大于10.0%,其余深度小于10.0%。

B点各深度垂直分布自16:30至次日1:30规律性不强,16:30与21:30两时刻,20 cm与40 cm两深度差异不大,自40~80 cm向下递减,23:30各深度基本一致,1:30自20~60 cm递增,80 cm又迅速下降,但16:30—1:30时段底层80 cm均未超过表层20 cm,18日3:30—15:30均从20 cm至80 cm递减。平均而言,白天及夜间DO均自20 cm向下递减,于100 cm达最低,但夜间递减梯度略小,白天较大。20~60 cm白天大于夜间,而80 cm夜间则高于白天,但两者差异不足6.9%。

C1点3个深度DO含量基本一致,未出现较大差异,经方差分析,3个深度无显著差异( $P>0.05$ )。总体而言,白天及夜间水体3个深度差异较小,20 cm与40 cm基本相同,60 cm略低。3个深度均为白天高于夜间,差异不足7.2%。

C2点5:30—15:30时段20 cm与40 cm最高,向下持续递减,于100 cm达最低,16:30至次日3:30垂直分布规律性不明显,16:30、23:30、3:30 3个时刻各深度差异较小,19:30—21:30自20 cm向下递减。平均而言,白天及夜间均从20 cm向下递减,于100 cm达最低,但夜间递减梯度略小,白天较大。20~60 cm及100 cm均为白天大于夜间,而80 cm昼夜基本相等,但差异率均不足6.6%。

### 2.2 DO水平分布日变化

DO水平分布见图3。

20 cm深除16:30,其余时刻均以A1最高,16:30—9:30大部分时刻以A2点最低;11:30—13:30以B最低,午后15:30,自A1~C2点依次降低。平均而言,白天A1最高,为 $11.5 \text{ mg} \cdot \text{L}^{-1}$ ,A2、B、C1 3点大致相当,为 $10.3\sim10.4 \text{ mg} \cdot \text{L}^{-1}$ ,C2略低,为 $10.1 \text{ mg} \cdot \text{L}^{-1}$ ;夜间A1仍为最高,为 $10.9 \text{ mg} \cdot \text{L}^{-1}$ ,A2最低,为 $9.2 \text{ mg} \cdot \text{L}^{-1}$ ,B、C1相等,为 $9.7 \text{ mg} \cdot \text{L}^{-1}$ ,C2略低,为 $9.5 \text{ mg} \cdot \text{L}^{-1}$ 。各点20 cm 16:30—19:30较低,21:30略有恢复,后持续降至凌晨5:30,7:30—15:30持续升高,午后15:30达最高。

40 cm深整个监测时段,A1点除19:30,其余时刻均为最高,A2大部分时刻为最低。夜间大部分时段C1和B仅次于A1,C2点略高于A2,而白天B、C1、C2 3点差异较小。A1、A2、B 3点16:30—5:30时段,于19:30有一次明显下降过程,21:30略有恢复,后持续降至5:30,后持续升高至午后15:30。C1、C2点16:30—5:30持续降低,7:30—15:30持续升高。总体而言,昼夜均以A1最高,A2最低,其中白天B、C1、C2差异不大,夜间C1仅次于A1,B与C2依次高于A2。

60 cm深整个监测时段A1远高于其他4个点,仅在7:30时,5个点基本一致,其中白天C1仅次于A1,只有A2为最低,B与C2基本相当,而夜间C1仅次于A1,A2、B、C2 3点平均值基本相等,分别为 $9.32$ 、 $9.30$ 、 $9.31 \text{ mg} \cdot \text{L}^{-1}$ 。A1 16:30—7:30时间持续降低,其中19:30有1次明显下降过程,于21:30有所恢复,后持续升高至午后15:30,其余点变化规律基本为16:30—5:30持续下降,于5:30达最低,后持续升高至午后15:30。

80 cm深整个监测时段分布顺序基本为A1最高,A2、C2其次,B最低,按昼夜划分也呈现此规律。A1 16:30—7:30时间持续降低,于19:30有1次明显下降过程,于21:30有所恢复,后持续升高至15:30,其余点随时间变化平缓。

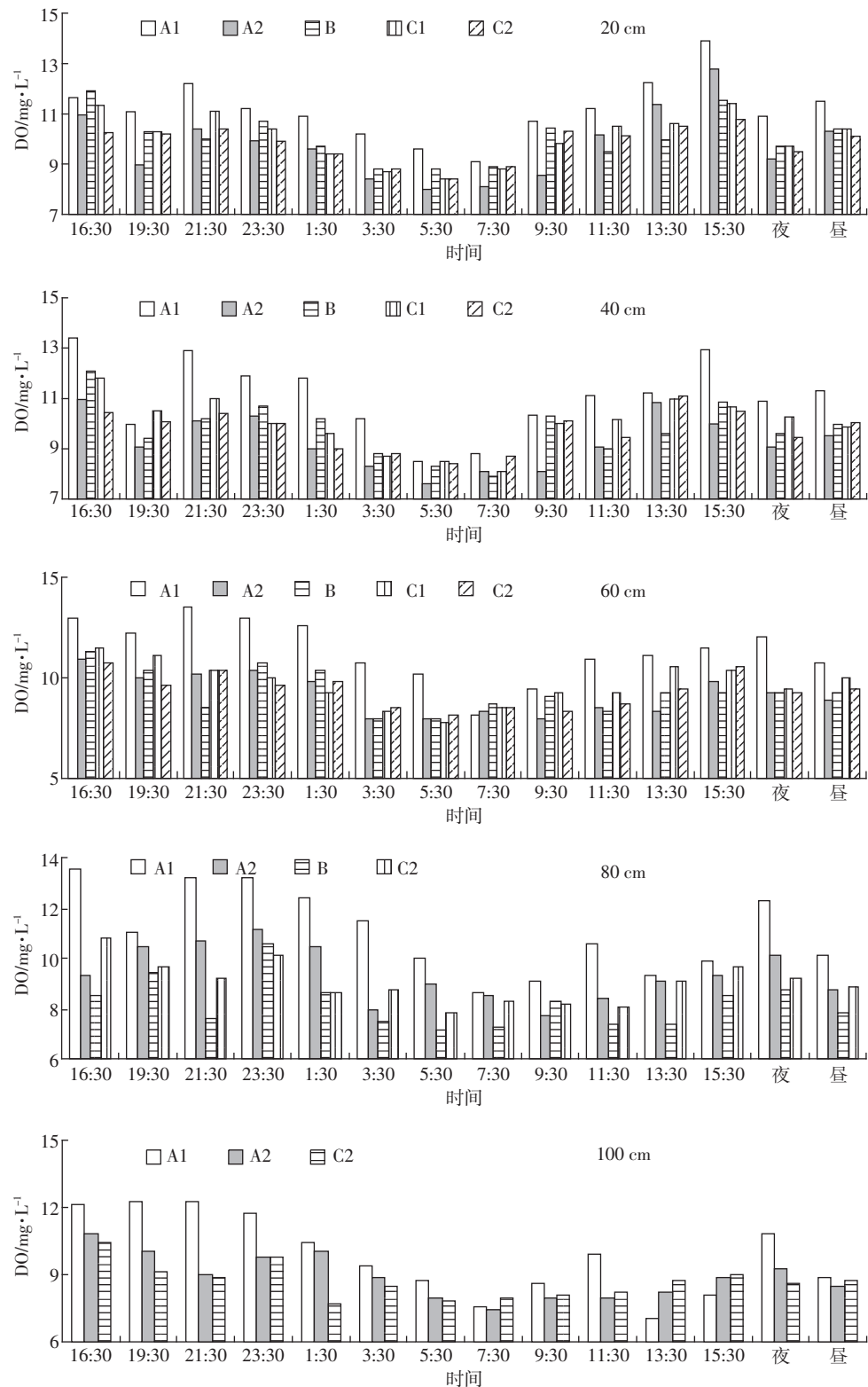


图3 各监测点水体DO水平分布日变化

Figure 3 DO diurnal variation of horizontal distribution

100 cm 深总体分布规律: A1>A2>C2, 此现象在夜间表现明显, 而午后与之相反, 为 C2>A2>A1, 上午 7:30—11:30 表现为 A1 与 C2 较高, A2 较低。

总体而言, 白天 3 点差异较小, 而夜间梯度明显。A1 随时间变化明显, 16:30—7:30 持续降低, 7:30—11:30 持续上升, 午后 13:30—15:30 较低, 而 A2、C2

随时间变化起伏较小,16:30—7:30持续缓慢降低,7:30—15:30持续缓慢升高。

### 3 讨论

因监测湖区无人为扰动,水流缓慢,水体复氧规律可遵从静态水体大气复氧的分子扩散理论模型。对于静态水体,大气向水体复氧的现象,可以看作空气中的氧穿过水面向水体内部的分子扩散过程,用 Fick 定律表示为:

$$M = -D_m \frac{\partial O}{\partial x}$$

式中: $M$  为氧分子扩散通量; $D_m$  为氧分子扩散系数; $O$  为溶解氧浓度; $x$  为距离。

由微元水体质量平衡原理,进一步导得氧在水体的迁移扩散方程: $\frac{\partial O}{\partial x} = D_m \frac{\partial^2 O}{\partial x^2}$ 。

在复氧过程中,也即水中溶解氧的补充来源中,主要有大气复氧,水生生物(主要是藻类)光合作用复氧,流入水体携带的溶解氧<sup>[5]</sup>。

根据上述理论,由于监测水域水体流动性较弱,无其他水体流入,对于位于菹草种群区的 A1、A2 来说,因植株高度远超过水深,植株叶片均匀覆盖水面,郁闭程度较高,故影响其大气复氧能力,水体氧主要来自于菹草光合放氧;C1、C2 位于开阔水域,其复氧方式以大气复氧和藻类光合放氧为主,C1 还有可能接受到来自于菹草内部向外传输的氧;而 B 的复氧方式以大气复氧和藻类光合放氧为主,还可接受菹草光合作用产生的氧。

从垂直分布分析,监测月菹草处于旺盛生长季节,植株叶片主要集中在水深 20 cm 上下位置,该深度产氧量最为丰富,其中 A1 处于种群中央,菹草生长密集,阻碍水体流动,产氧量最为丰富,光合作用产生的氧可经植株及根系传输到水体,以满足植株呼吸作用的需求<sup>[6]</sup>。从 DO 含量分析,A1 垂直方向上表层水体 DO 含量均高于临近的 A2,其氧传输主要集中在垂直方向,而非来自水平方向,故白天植株光合放氧能力较强,将产生的氧向水下传输,相应出现 20~100 cm DO 递减的现象;夜间水面因植株叶片郁闭程度较高,大气复氧能力较弱,故植株进行呼吸作用消耗大量 DO,植株叶片最为集中的 20 cm 深呼吸耗氧量最大,随水深增加,生物量减少,植株呼吸作用耗氧量减少,故形成 20~80 cm 逐渐递增现象,而 100 cm 深接近底泥,底泥中耗氧有机物的分解将消耗部分

氧,无论白天还是夜间 100 cm 处均最低。A2 位于菹草种群中央,该点 DO 垂直分布原理与 A1 相似,但因 A2 外侧是开阔水域,故光合作用产生的氧除向底层水体传输外,还向临近开阔水域传输,故其 DO 含量较 A1 低,且不同深度 DO 差异较 A1 略大。位于开阔水域的 C1、C2 点通过藻类光合作用和大气复氧的能力大致相当,但 C1 因其离菹草种群距离较近,除上述复氧方式外,还接受来自菹草种群内传输的氧,且水深较低,故水体垂直 DO 差异较小,昼夜平均而言,20 cm 与 40 cm 深 DO 大体相当,而 60 cm 因接近沉积物,故耗氧量较 20~40 cm 略大。C2 离菹草种群较远,水体复氧方式以大气复氧为主,藻类光合作用次之,故无论白天还是夜间水体自 20~100 cm 递减,且白天因藻类光合作用,DO 含量总体要高于夜间,同时 DO 随水深变化梯度较大,而夜间仅通过大气复氧,DO 随深度变化梯度略小。B 因位于交界线上,无菹草覆盖,白天水体既有大气复氧和藻类光合放氧,附近的菹草种群也可产生氧向其传输,而夜间仍可进行大气复氧,且无菹草呼吸作用消耗 DO,故其白天夜间 DO 均从 20~80 cm 递减。

从各深度日变化角度分析,A1 点 DO 含量日变化主要受植株光合放氧速率与植株呼吸耗氧速率的影响,而植株光合速率的高低主要受光照、水温、水体 CO<sub>2</sub> 浓度等因素的影响,18 日日出后,虽植株开始光合作用,但光照及水温均较低,植株光合放氧能力仍较弱,且水体中 DO 经夜间呼吸作用消耗,虽植株能光合放氧,但水体 DO 未能明显提高,直至 9:30 水体 DO 经持续累积,才显著升高,直至午后 15:30。而日落前后,随光照减弱,菹草光合作用随之减弱,光合放氧量减少,故 17 日 13:30—19:30 随光照停止,水体 DO 持续降低。19:30 因日落后菹草种群停止光合放氧,但水生生物呼吸作用旺盛,且水面因菹草叶片覆盖,大气复氧速度较慢,故各水深 19:30 附近出现一个明显的低谷,后通过大气复氧水体 DO 含量略有恢复,但因叶片覆盖缘故,其量较少,之后水体中水生动植物持续不断消耗 DO,直至日出后,菹草光合作用开始后,DO 才开始回升。因 A1 各深度 DO 主要来自于垂直传输,此规律在 20~80 cm 深度表现显著,而 100 cm 处因水深较深,且植株生物量较小,故未出现 19:30 附近 DO 显著下降的现象。A2 点位于种群内部其各深度 DO 日变化规律与 A1 基本一致,尤其表层 20~60 cm 在 19:30 DO 显著下降特征上表现一致,而 A2 产生的氧向外侧临近水域传输较多,垂直传输量较 A1

少,故水深80~100 cm处未出现此现象。C1、C2日出后,随光照强度增加,水温上升,水体藻类光合放氧增强,DO含量迅速增加,自5:30—9:30迅速增加,后缓慢增加,直至日落时分DO含量变化不大;21:30—5:30水体中生物持续呼吸耗氧,水体DO减少,至5:30降至最低。B点一方面有来自于种群内部氧的传输,另一方面可通过大气复氧获得,故DO平均含量处于两侧监测点之间,DO日变化趋势既有种群内部特点,又有开阔水域的特点,自17日16:30—21:30因种群及生物呼吸作用持续下降,21:30又通过大气复氧略有恢复,之后一直下降,直至凌晨3:30—7:30降至全天最低,日出后因种群光合放氧,才开始恢复。

从水平空间分布看,A1水体复氧主要通过菹草光合放氧,其产氧量远大于开阔水域中大气复氧及藻类光合作用的产氧量,但其大气复氧能力较开阔水域要弱,且A1光合放氧还通过植株向水下传输,故A1总体各深度DO均较高。A2植株光合作用产生的氧不仅垂直向底层传输,还要侧向向开阔水域传输,且沉水植物种群可为浮游生物提供良好的庇护场所<sup>[7-8]</sup>,据此推断A2作为离交界处最近的种群,其中栖息的浮游生物数量较高,且浮游生物主要集中在产氧量最高的20~60 cm处,该深度所产生的DO一方面向开阔水域传输,另一方面旺盛生长菹草及栖息在此的各种浮游生物及微生物呼吸作用耗氧量也在各点中最高,故形成20~60 cm深度DO较低的现象,其中20 cm深因白天菹草光合作用产氧量较高,虽向周围水域传输,但未降低很多,故与B、C1差异不大。离种群较近的B、C1不仅可通过大气复氧、藻类光合放氧作用,还可菹草种群内产生的氧气,交界处B离菹草最近,获得DO要多,C1点略远,接受的要少。C2因距种群距离较远,仅能通过大气复氧和藻类光合作用复氧,故最低。20 cm深度,A1在所有点中相对封闭,夜间主要以菹草呼吸作用消耗氧气,故其在各点中DO仍为最高,A2不仅菹草呼吸耗氧,在此栖息大量浮游生物呼吸也耗氧,且因植株叶片覆盖,大气复氧能力较低,故夜间此点DO最低;B、C1、C2夜间仍能进行大气复氧,故其DO略高A2。40 cm深白天垂直方向上光合放氧及大气复氧能正常进行,各点DO水平变化大致与20 cm深度变化规律一致,但夜间A2因菹草与浮游生物一起呼吸耗氧,其垂直方向上20 cm深度含量不及临近B高,故氧气浓度差决定周围水域DO会向该点传输,形成从C1到A2 DO逐渐降低的现象。60 cm处因光照较弱,水体光合放氧能

力已大大衰弱,其中C1基本接近底泥,因其深度较浅,表层水体与底层水交换较快,底层60 cm与20 cm差异不大,而其他点深度较大,60 cm接受到表层水体DO不及C1多,白天除A1菹草强烈光合放氧向底层传输氧之外,C1较高;A2因菹草与浮游生物呼吸作用,DO仍为最低。B点因生物量较少,且表层DO含量较A2表层要高,故60 cm深DO较A2要高。80 cm深处,B因临近菹草种群,水体稳定性较好,水体垂直交换量少,且因接近底泥,底泥中耗氧有机物分解消耗上覆水DO,故其含量最低;A1因表层含量较高,垂直传输量大,故其DO最高,C2次之。100 cm深因种群光合放氧传输原因,故大部分时间水体DO为A1>A2>C2,至于午后为什么会出现倒置现象,其原因还需要进一步探究。

#### 4 结论

(1)垂直分布上,菹草种群光合作用对水体DO影响显著,种群区DO白天从表层向底层逐渐递减,夜间从20~40 cm处较低,60~80 cm处较高,较深的100 cm处也较低,而离种群较远的开阔水域因无菹草光合作用影响,白天和夜间均出现从表层向底层递减现象;离种群较近的开阔水域因水深较浅的缘故,各深度差异不大,而交界处,白天和夜间均从表层向底层递减。

(2)时间分布上,种群区水体日出后DO开始递增,日落后递减,表层20~80 cm深度19:30左右出现1次明显低谷,后略有恢复,后一直降至日出前后,而水深较深的100 cm处无此现象;开阔水域日出后持续升高,直至日落,日落后持续下降,直至日出前后,且各深度差异不大,菹草种群区光合作用对周围水域有一定的影响,离种群较近的开阔水域昼夜变化幅度较离种群较远的开阔水域要大,且交界处呈现种群内的特点,同时具有开阔水域变化趋势。

(3)水平分布上,种群内侧点各深度任何时刻DO最高,20~40 cm深离开阔水域较近种群外侧点在各监测点中最低;60 cm深白天离开阔水域较近种群外侧点最低,夜间交界处最低;80~100 cm深部分监测点已达底泥,交界处最低;100 cm深夜间从种群内侧向开阔水域依次降低,白天规律性不明显。

#### 参考文献:

- [1] 国家环境保护总局.水和废水监测分析方法[M].第四版.北京:中国环境科学出版社,2002.

- Editorial Committee of Monitoring and Analysis Methods of Water and Sewage, State Environmental Protection Administration of China. Monitoring and analysis methods of water and sewage[M]. 4rd editon. Beijing: The Publishing Company of Chinese Environmental Science, 2002.
- [2] 梁红.环境监测[M].武汉:武汉理工大学出版社, 2003.
- LIANG Hong. Environmental monitoring[M]. Wuhan: Wuhan University of Technology Press, 2003.
- [3] Rogers K H, Breen C M. Growth and reproduction of *potamogeton crispus* in a South African Lake[J]. *Journal of Ecology*, 1980, 68:561-571.
- [4] Aysel S, Emire E, Fatih G, et al. Removal of cadmium by *myriophyllum heterophyllum* michx and *Potamogeton crispus* L. and its effect on pigments and total phenolic compounds[J]. *Archives of Environment Contamination and Toxicology*, 2008, 54(4):612-618.
- [5] 锤文生, 李莉红, 贺涛.水体大气复氧理论和复氧系数研究进展与展望[J]. 水利学报, 2003, 11:64-70.
- LUO Wen-sheng, LI Li-hong, HE Tao. Advances and prospects in the research of water reaeration theory and reaeration coefficient[J]. *Journal of Hydraulic Engineering*, 2003, 11:64-70.
- [6] 成水平, 吴振斌, 夏宜珍.水生植物的气体交换与输导代谢 [J]. 水生生物学报, 2003, 27(4):413-417.
- CHENG Shui-ping, WU Zhen-bin, XIA Yi-zheng. Review on gas exchange and transportation in macrophytes[J]. *Acta Hydrobiologica Sinica*, 2003, 27(4):413-417.
- [7] Davies C M, Evison L M. Sunlight and the survival of enteric bacteria in natural waters[J]. *Journal of Applied Microbiology*, 2008, 70(3):265-274.
- [8] Istvanovics V, Honti M, Kovacs A, et al. Distribution of submerged macrophytes along environmental gradients in large shallow Lake Balaton(Hungary )[J]. *Aquatic Botany*, 2008, 88(4):317-330.